

ЭЛЕКТРОДИНАМИКА ПЛАЗМЕННОГО СОЛЕНОИДА И ЭЛЕКТРОМАГНИТНЫЕ СВОЙСТВА ИНДУКТИВНОГО РАЗРЯДА

И. Н. Карташов^{}, М. В. Кузелев^{**}*

*Московский государственный университет им. М. В. Ломоносова, Физический факультет
119991, Москва, Россия*

Поступила в редакцию 20 ноября 2023 г.,
после переработки 17 января 2024 г.
Принята к публикации 18 января 2024 г.

Исследованы электродинамические свойства плазменного соленоида с холодной столкновительной магнитоактивной плазмой и динамика возбуждения волн азимутальным током на его поверхности при произвольных соотношениях между частотой внешнего источника тока, электронной циклотронной частотой и плазменной частотой. Рассмотрены случаи безграничного и продольно ограниченного плазменных соленоидов. Вычислены их комплексные импедансы и эффективные сопротивления как величины, характеризующие поглощаемую в плазме мощность источника. Показано, что несмотря на ограниченность понятия комплексного импеданса квазистационарным случаем, вещественная его часть совпадает с эффективным сопротивлением даже за пределами условия квазистационарности. Резонансные зависимости вычисленных комплексных импедансов и эффективных сопротивлений плазмы свидетельствуют о том, что при наличии внешнего магнитного поля, в плазменном соленоиде возможно резонансное возбуждение азимутальным током электромагнитных волн со значительной продольной составляющей напряженности электрического поля в области частот меньших циклотронной и плазменной.

DOI: 10.31857/S0044451024050122

1. ВВЕДЕНИЕ

В течение нескольких десятилетий в научной литературе активно обсуждаются индуктивные высокочастотные разряды и источники плазмы на их основе (см. обзоры [1–4]). В отличие от традиционных емкостного и индуктивного высокочастотных разрядов без внешнего магнитного поля его наличие приводит к существенному изменению электромагнитных свойств плазмы в разряде. В частности, появляется возможность возбуждения проникающих в плазму волн низкочастотной части спектра с частотами меньше электронной циклотронной. Источники плазмы, основанные на индуктивном высокочастотном разряде во внешнем магнитном поле имеют существенно меньшие ограничения по плотности плазмы, связанные с достижением ею критического значения для данной частоты генератора, то

есть являются источниками плотной плазмы. Реальные концентрации электронов достигают значений вплоть до 10^{13} см^{-3} [1].

Уникальные характеристики предопределяют и широкие практические применения высокочастотных индуктивных источников плазмы во внешнем магнитном поле. Одним из важнейших их приложений является использование в качестве ионных двигателей космических аппаратов. В таких источниках плазма создается в результате вложения высокочастотной мощности с последующим электростатическим ускорением ионов. В качестве ионных двигателей рассматриваются источники плазмы различных размеров (диаметры 0.5 – 74 см) [5], в том числе малых (диаметр вакуумной камеры порядка нескольких сантиметров) [6, 7] и сверхмалых (диаметры 0.2 – 2 см) [8]. Внешнее магнитное поле создается как при помощи традиционного соленоида, так и при помощи системы постоянных магнитов. В частности, в [6, 7] для упрощения и миниатюризации конструкции магнитное поле создается постоянным кольцевым магнитом. Еще одним из приложений высокочастотных индуктивных источников плазмы

* E-mail: igorkartashov@mail.ru

** E-mail: kuzelev@mail.ru

является их использование в микроэлектронике для плазменного нанесения покрытий и травления материалов [9]. Помимо этого, поглощение электромагнитных волн с частотами до электронной циклотронной имеет существенное значение как один из методов нагрева плазмы в установках управляемого термоядерного синтеза, в частности, в проектах ITER и DEMO [10, 11]. Поглощение волн в горячей термоядерной плазме осуществляется в основном за счет бесстолкновительного затухания Ландау. При этом параметры плазмы и внешнего удерживающего магнитного поля отличаются от параметров традиционного высокочастотного разряда существенным образом. При концентрации электронов порядка 10^{14} см^{-3} и индукции магнитного поля в tokamаке 5 Тл электронные ленгмюровская и циклотронная частоты имеют один порядок и составляют $(5 \dots 10) \times 10^{11} \text{ рад/с}$, что соответствует СВЧ области. Это обстоятельство делает актуальным продвижение существующих теорий индуктивных высокочастотных разрядов в более коротковолновую область — вплоть до СВЧ диапазона.

В случае частоты генератора, значительно меньшей электронной циклотронной частоты, при вложении мощности в плотную плазму говорят о геликонных разрядах. Исследование геликонных разрядов и источников плазмы на их основе началось с работ Босвелла [12, 13]. В первой из этих работ показано, что в трубке, помещенной во внешнее магнитное поле величиной до 1.5 кГс, зажигался разряд на частоте 8 МГц и источником вложения мощности в плазму была возбуждаемая стоячая волна геликонного типа. При теоретическом описании геликонного разряда было указано на возможность существования двух радиальных распространяющихся мод, одна из которых связывается с геликоном, а другая в настоящее время обычно называется модой Трайвелписа-Гоулда или косой ленгмюровской волной [14–17]. В работе [18] рассматривались механизмы вложения в безграничную магнитоактивную плазму высокочастотной мощности при реализации, в зависимости от параметров разряда, предельных случаев возбуждаемой волны с законами дисперсии, соответствующими геликонной волне и косой ленгмюровской волне (моде Трайвелписа – Гоулда). В настоящей работе исследуются электромагнитные свойства индуктивного разряда конечной длины во внешнем магнитном поле при различных соотношениях между частотой возбуждающего генератора, электронной циклотронной частотой и плазменной частотой, что позволяет описать электродинамику плазменного соленоида не только в традиционной

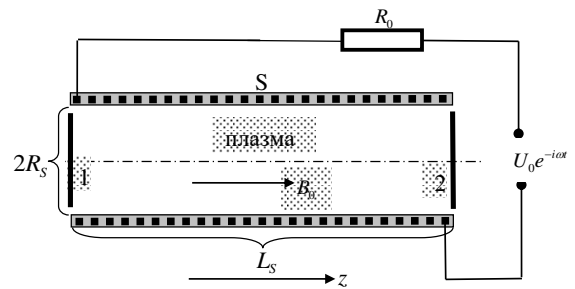


Рис. 1. Плазменный соленоид

области высокочастотного диапазона частот, но и для систем с использованием СВЧ полей [19–23].

Типичные источники плазмы представляют собой вакуумную камеру с давлением газа единицы и десятки миллитор, имеющую диаметр от нескольких миллиметров до десятков сантиметров и протяженность до значений более метра. Разряд поддерживается системой токов, текущих по антенне, которая может иметь различные конфигурации. Мы в настоящей работе будем ориентироваться на параметры разряда в работах [24–26].

2. ПОСТАНОВКА ЗАДАЧИ. ОСНОВНЫЕ УРАВНЕНИЯ И МЕТОДЫ ИССЛЕДОВАНИЯ

Рассмотрим соленоид S , полностью заполненный однородной плазмой (рис. 1). Соленоид (катушка индуктивности) представляет собой участок цилиндра с радиусом R_S , длиной L_S с тонкой проволочной обмоткой, содержащей N_S витков. Обмотка соленоида через сопротивление R_0 подключена к источнику частоты ω . Имеется также однородное внешнее магнитное поле B_0 , направленное вдоль оси соленоида (ось z). Торцы соленоида могут быть закрыты проводящими заглушками «1» и «2». Описанная система представляет упрощенную схему индуктивного газового разряда [27].

Введем цилиндрические координаты r, φ, z и будем рассматривать только азимутально симметричные распределения электромагнитного поля в соленоиде ($\partial/\partial\varphi = 0$). Предположим, что тензор диэлектрической проницаемости плазмы в цилиндрической системе координат имеет вид ($i, j = r, \varphi, z$)

$$\varepsilon_{ij}(\omega) = \begin{pmatrix} \varepsilon_{rr}(\omega) & \varepsilon_{r\varphi}(\omega) & 0 \\ \varepsilon_{\varphi r}(\omega) & \varepsilon_{\varphi\varphi}(\omega) & 0 \\ 0 & 0 & \varepsilon_{zz}(\omega) \end{pmatrix}. \quad (1)$$

В простейшей модели холодной электронной магнитоактивной плазмы со столкновениями компоненты

тензора (1) определяются формулами [28]

$$\begin{aligned}\varepsilon_{rr}(\omega) &= \varepsilon_{\varphi\varphi}(\omega) = \varepsilon_{\perp}(\omega) = 1 - \frac{\omega_{Le}^2(\omega + i\nu_e)}{\omega[(\omega + i\nu_e)^2 - \Omega_e^2]}, \\ \varepsilon_{r\varphi}(\omega) &= -\varepsilon_{\varphi r}(\omega) = ig(\omega) = -i\frac{\omega_{Le}^2\Omega_e}{\omega[(\omega + i\nu_e)^2 - \Omega_e^2]}, \\ \varepsilon_{zz}(\omega) &= \varepsilon_{||}(\omega) = 1 - \frac{\omega_{Le}^2}{\omega(\omega + i\nu_e)}.\end{aligned}\quad (2)$$

Здесь ω_{Le} — электронная ленгмюровская частота, ν_e — эффективная частота столкновений электронов, Ω_e — электронная циклотронная частота.

Для плазмы с тензором диэлектрической проницаемости (1) в случае азимутально симметричных монохроматических возмущений частоты ω после перехода к комплексным амплитудам система уравнений Максвелла записывается в виде

$$\begin{aligned}\frac{\partial E_{\varphi}}{\partial z} &= -i\frac{\omega}{c}B_r, \\ \frac{\partial E_r}{\partial z} - \frac{\partial E_z}{\partial r} &= i\frac{\omega}{c}B_{\varphi}, \\ \frac{1}{r}\frac{\partial}{\partial r}(rE_{\varphi}) &= i\frac{\omega}{c}B_z, \\ \frac{\partial B_{\varphi}}{\partial z} &= i\frac{\omega}{c}\varepsilon_{rr}(\omega)E_r + i\frac{\omega}{c}\varepsilon_{r\varphi}(\omega)E_{\varphi} - \\ &\quad - \frac{4\pi}{c}j_{0r}(z, r), \\ \frac{\partial B_r}{\partial z} - \frac{\partial B_z}{\partial r} &= -i\frac{\omega}{c}\varepsilon_{\varphi r}(\omega)E_r - i\frac{\omega}{c}\varepsilon_{\varphi\varphi}(\omega)E_{\varphi} + \\ &\quad + \frac{4\pi}{c}j_{0\varphi}(z, r), \\ \frac{1}{r}\frac{\partial}{\partial r}(rB_{\varphi}) &= -i\frac{\omega}{c}\varepsilon_{zz}(\omega)E_z + \frac{4\pi}{c}j_{0z}(z, r), \\ \frac{1}{r}\frac{\partial}{\partial r}(r\varepsilon_{rr}E_r) + \frac{\partial}{\partial z}(\varepsilon_{zz}E_z) + \frac{1}{r}\frac{\partial}{\partial r}(r\varepsilon_{r\varphi}E_{\varphi}) &= \\ &= 4\pi\rho_0(z, r).\end{aligned}\quad (3)$$

Здесь $\mathbf{j}_0(z, r) = \{j_{0r}, j_{0\varphi}, j_{0z}\}$ и $\rho_0(z, r)$ — комплексные амплитуды плотности тока и плотности заряда внешних источников поля в плазме. В нашем случае внешним источником является обмотка соленоида, по которой протекает ток от источника, а плотность заряда $\rho_0(z, r)$ равна нулю. Однако, если бы заглушки «1» и «2» были подключены к какому-то источнику, то плотность заряда $\rho_0(z, r)$ была бы обусловлена поверхностными зарядами на этих заглушках, как на обкладках конденсатора. При этом речь бы шла о комбинированном газовом разряде — индуктивно-емкостном. Мы ограничимся только случаем $\rho_0(z, r) = 0$. Резонансные свойства емкостного разряда в поперечном магнитном поле рассмотрены в [29]. Поскольку ток в соленоиде преимущественно является азимутальным, будем полагать, что $j_{0r} = j_{0z} \equiv 0$.

Исключая величины B_z, B_r, B_{φ} и учитывая формулы (2), получаем из (3) следующие уравнения для

комплексных амплитуд компонент вектора напряженности электрического поля E_z, E_r, E_{φ} :

$$\begin{aligned}\frac{\partial}{\partial z}\left(\frac{\partial E_r}{\partial z} - \frac{\partial E_z}{\partial r}\right) + \frac{\omega^2}{c^2}\varepsilon_{\perp}E_r + i\frac{\omega^2}{c^2}gE_{\varphi} &= 0, \\ \frac{\partial}{\partial r}\left(\frac{1}{r}\frac{\partial}{\partial r}rE_{\varphi}\right) + \frac{\partial^2 E_{\varphi}}{\partial z^2} + \frac{\omega^2}{c^2}\varepsilon_{\perp}E_{\varphi} - i\frac{\omega^2}{c^2}gE_r &= \\ &= -i\frac{\omega}{c}\frac{4\pi}{c}j_{0\varphi}(z, r), \\ \frac{1}{r}\frac{\partial}{\partial r}r\left(\frac{\partial E_z}{\partial r} - \frac{\partial E_r}{\partial z}\right) + \frac{\omega^2}{c^2}\varepsilon_{||}E_z &= 0.\end{aligned}\quad (4)$$

Обсудим теперь граничные условия для уравнений (4). Предположим, что обмотка соленоида локализована на цилиндрической поверхности $r = R_S$, т.е. ток соленоида является поверхностным током. В этом случае плотность тока внешнего источника можно определить при помощи дельта-функции

$$j_{0\varphi}(z, r) = J(z)\delta(r - R_S), \quad 0 < z < L_S, \quad (5)$$

где $J(z)$ — некоторая функция только продольной координаты z . Возьмем второе уравнение системы (4), подставим в него функцию (5) и проинтегрируем уравнение по r в пределах от $R_S - h$ до $R_S + h$ ($h \rightarrow +0$). В результате получим соотношение

$$\frac{\partial E_{\varphi}}{\partial r}(R_S + 0) - \frac{\partial E_{\varphi}}{\partial r}(R_S - 0) = -i\frac{\omega}{c}\frac{4\pi}{c}J(z). \quad (6)$$

Как видно из третьего и пятого уравнений системы (3), соотношение (6) обусловлено скачком тангенциальной составляющей индукции магнитного поля $B_z(r)$ на поверхности с током (5). Кроме (6) понадобятся еще и условия непрерывности тангенциальных составляющих напряженности электрического поля

$$\begin{aligned}E_z(R_S + 0) - E_z(R_S - 0) &= 0, \\ E_{\varphi}(R_S + 0) - E_{\varphi}(R_S - 0) &= 0.\end{aligned}\quad (7)$$

Соотношения (6) и (7) составляют основные граничные условия для однородных уравнений (4)¹⁾. Граничные условия по переменной z будут обсуждаться в дальнейшем по ходу изложения.

Одним из сложных моментов является определение функции $J(z)$. Сложности нет только в квазистационарном приближении, в рамках которого полагается, что мгновенные значения силы тока в каждой точке электрической цепи, в том числе и в каж-

¹⁾ Внутри соленоида при $r < R_S$ и вне соленоида при $r > R_S$ правая часть второго уравнения системы (4) согласно (5) равна нулю.

дом витке обмотки соленоида, одинаковы. Считая, что это так, можем записать

$$\int_0^{L_S} dz \int_{R_S-h}^{R_S+h} dr j_{0\varphi}(z, r) = N_S I. \quad (8)$$

Здесь I — сила тока в цепи, а $2h$ — толщина обмотки соленоида, т.е. интегрирование в (8) производится по продольному сечению обмотки соленоида. В модели соленоида с поверхностным током (5) предполагается, что $h \rightarrow +0$. Подставляя (5) в (8), имеем

$$I = \frac{1}{N_S} \int_0^{L_S} J(z) dz. \quad (9)$$

Если плотность числа витков обмотки соленоида постоянна и число витков достаточно велико, то функция $J(z)$ может быть представлена в виде

$$J(z) = \frac{N_S I}{L_S} = \text{const}. \quad (10)$$

На практике распространена ситуация, когда плотность числа витков соленоида непостоянна²⁾. В этом случае функция $J(z)$ считается известной, например, из условий эксперимента. В любом случае такая функция должна удовлетворять условию нормировки (9).

Условия применимости формулы (8)

$$\frac{\omega}{c} R_S, \frac{\omega}{c} L_S \ll 1 \quad (11)$$

означают, что длина электромагнитной волны частоты ω велика по сравнению с размерами соленоида³⁾. В этих условиях плазменный соленоид, какие бы сложные электромагнитные процессы ни происходили в плазме, для электрической цепи играет роль сосредоточенного элемента, как обыкновенные катушка индуктивности, или конденсатор. Поэтому, в квазистационарном приближении для электрической цепи плазменный соленоид характеризуется одним единственным параметром — комплексным импедансом Z_S .

Для вычисления импеданса Z_S учтем, что в цепи с соленоидом действует э.д.с. индукции \mathcal{E}_S , «подключенная» в цепь последовательно с внешним источником. Поэтому закон Ома для полной цепи,

²⁾ В реальных экспериментах по индуктивному газовому разряду часто используются соленоиды весьма сложной формы. Поэтому их даже называют не соленоидами, а антеннами [1, 3].

³⁾ Условие квазистационарности электрической цепи имеет вид (11) с заменой размеров соленоида на размер всей цепи в целом.

изображенной на рис. 1, для комплексных амплитуд имеет вид $U_0 + \mathcal{E}_S = IR_0$. Сама же э.д.с. индукции по определению равна интегралу вдоль обмотки соленоида от компоненты напряженности электрического поля $E_\varphi(z, r)$. Учитывая, что длина обмотки соленоида равна $2\pi R_S N_S$, и вводя среднее по длине соленоида значение азимутальной составляющей напряженности электрического поля

$$\langle E_\varphi(z, R_S) \rangle = \frac{1}{L_S} \int_0^{L_S} E_\varphi(z, R_S) dz, \quad (12)$$

представим э.д.с. индукции в виде

$$\mathcal{E}_S = 2\pi R_S N_S \langle E_\varphi(z, R_S) \rangle. \quad (13)$$

Подставляя выражение (13) в закон Ома, запишем следующее соотношение:

$$U_0 = IR_0 - 2\pi R_S N_S \langle E_\varphi(z, R_S) \rangle, \quad (14)$$

которое при необходимости можно использовать в качестве дополнительного условия для уравнений (4). Соотношения типа (14) известны в литературе как уравнения внешней цепи [30].

Чтобы получить формулу для импеданса плазменного соленоида учтем, что напряжение внешнего источника распределяется на падение напряжения на сопротивлении R_0 и на падение напряжения на плазменном соленоиде, т.е. $U_0 = IR_0 + IZ_S$. Сравнивая последнее соотношение с выражением (14), для импеданса имеем

$$Z_S = -2\pi R_S N_S \langle E_\varphi(z, R_S) \rangle / I. \quad (15)$$

В силу граничного условия (6) и формулы (9) напряженность электрического поля в соленоиде пропорциональна току в цепи. Следовательно, величина (15) не зависит от тока, а определяется только соленоидом — его геометрией и параметрами плазмы. Используя общее соотношение $Z_S = -i\omega \Lambda_S$ можно вычислить и комплексную индуктивность плазменного соленоида Λ_S .

С помощью импеданса могут быть исследованы резонансные свойства плазменного соленоида и рассмотрен вопрос о выделении в плазме соленоида мощности внешнего источника, что для физики газоразрядных процессов имеет первостепенное значение. Для простейшей последовательной цепи (источник напряжения U_0 через активное сопротивление R_0 подключен к обмотке плазменного соленоида, рис. 1) мощность внешнего источника, выделяемая в плазме, определяется формулой [31]

$$W = \frac{1}{2} |U_0|^2 \frac{Z'_S}{(R_0 + Z'_S)^2 + (Z''_S)^2}, \quad (16)$$

где $Z_S = Z'_S + iZ''_S$ ⁴⁾. Как функция комплексной переменной ω , комплексный импеданс $Z_S(\omega)$ имеет полюса, в окрестности которых

$$Z_S = iA(\omega - \omega^{(\infty)})^{-1}, \quad (17)$$

и нули, вблизи которых

$$Z_S = iB(\omega - \omega^{(0)}), \quad (18)$$

где A и B — постоянные, а $\omega^{(\infty)}$ и $\omega^{(0)}$ — некоторые комплексные частоты [31]. В случае большого активного сопротивления цепи, $R_0 \gg |Z_S|$, мощность выделяемая в плазме дается формулой

$$W = \frac{|U_0|^2}{2R_0^2} Z'_S. \quad (19)$$

Как функция частоты ω величина (19) максимальна в максимумах действительной части импеданса, т.е. в точках $\omega = \operatorname{Re} \omega^{(\infty)}$. Известно, что при $\omega = \omega^{(\infty)}$ в цепи имеет место резонанс токов: импеданс максимальен, а ток в цепи минимальен. При малом сопротивлении R_0 для мощности (16) имеем

$$W = \frac{1}{2}|U_0|^2 \frac{Z'_S}{(Z'_S)^2 + (Z''_S)^2}. \quad (20)$$

Мощность (20) максимальна в нулях мнимой части импеданса $\omega = \operatorname{Re} \omega^{(0)}$, что имеет место при резонансе напряжений — импеданс минимальен, а ток в цепи максимальен⁵⁾. Заметим, что экспериментальное наблюдение резонансов токов и напряжений в газовых разрядах базируется, в том числе и на формулах (19) и (20).

Область применимости формул (16)-(20), как и область применимости самого понятия импеданса, ограничивается условием квазистационарности электрической цепи [32]. При повышении частоты внешнего источника ω , когда условие квазистационарности нарушается, для вычисления мощности выделяемой в плазме соленоида следует использовать электродинамические методы. Исходим из формулы для плотности мощности $W = \langle \mathbf{j} \cdot \mathbf{E} \rangle$, где \mathbf{E} — вектор напряженности электрического поля, \mathbf{j} — вектор плотности тока, наведенного в плазме, а угловые скобки означают усреднение по периоду $2\pi/\omega$.

⁴⁾ Излагаемые здесь элементарные сведения из электротехники относятся не только к плазменному соленоиду, но и к любому другому элементу электрической цепи.

⁵⁾ Исторически названия резонансы токов и напряжений возникли в связи с исследованием параллельного и последовательного колебательных контуров, состоящих из активного сопротивления, емкости и индуктивности.

Выражая плотность тока через напряженность поля и диэлектрическую проницаемость [33]

$$j_i = \frac{\omega}{4\pi i} (\varepsilon_{ij} - \delta_{ij}) E_j, \quad (21)$$

после несложных вычислений для плотности мощности имеем

$$W(z, r) = \frac{\omega}{8\pi} [\varepsilon_{\perp}'' (|E_r(z, r)|^2 + |E_{\varphi}(z, r)|^2) + \varepsilon_{||}'' |E_z(z, r)|^2 - 2g'' \operatorname{Im} (E_r^*(z, r) E_{\varphi}(z, r))], \quad (22)$$

где индекс «два штриха» означает мнимую часть. Выполняя в (22) интегрирование по z от нуля до L_S и по r с весом $2\pi r$ от нуля до R_S , можно вычислить полную мощность внешнего источника, выделяемую в плазме соленоида $W(\omega)$. В общем случае это удается осуществить только численно.

Входящие в (22) компоненты напряженности электрического поля вычисляются из однородной системы уравнений (4) с граничными условиями (6) и (7). В связи с этим опять встает вопрос об определении функции $J(z)$, но уже за пределами применимости квазистационарного приближения, когда рассмотрение системы, изображенной на рис. 1 электротехническими методами недопустимо. В этом случае следует решать полную электродинамическую задачу для соленоида, подводящих проводов, источника напряжения и даже части окружающего пространства, что вряд ли выполнимо. Наша цель — получить компактные, физически наглядные и полезные для экспериментальных исследований результаты. Независимо от частоты стационарно подаваемого на антенну соленоида сигнала в ней устанавливается некоторое распределение тока $J(z)$. Задавая его из каких-то разумных физических соображений и определяя из системы (4) компоненты вектора напряженности электрического поля, можно по формуле (22) вычислить энергию, выделяемую в плазме соленоида и главное — исследовать резонансные свойства соленоида с плазменным заполнением, что и будет проделано в дальнейшем. В пределах применимости формулы (9) мощность, выделяемая в плазме $W(\omega)$, может быть представлена в виде $W(\omega) = R_{eff} I^2 / 2$, где R_{eff} — эффективное сопротивление плазмы. В квазистационарной области частот эффективное сопротивление, разумеется, должно совпадать с вещественной частью импеданса.

3. ПЛАЗМЕННЫЙ СОЛЕНОИД ВОЛЬШОЙ ДЛИНЫ С ПОСТОЯННОЙ ПЛОТНОСТЬЮ ЧИСЛА ВИТКОВ ОБМОТКИ

Предположим, что выполнено неравенство

$$R_S \ll L_S, \quad (23)$$

т.е. длина соленоида существенно превышает его радиус. В этом случае разумно полагать, что процессы в окрестностях продольных границ соленоида $z = 0, L_S$ (краевые эффекты) мало влияют на происходящее в его объеме. Поэтому можно считать, что продольное распределение электромагнитного поля в соленоиде определяется не условиями на продольных границах, а какими-то другими факторами. В силу линейности уравнений (4) и граничных условий (6) и (7), единственным таким фактором является плотность числа витков обмотки соленоида, т.е. функция $J(z)$. Начнем с простейшего случая постоянной плотности тока (10).

Считая электромагнитное поле в соленоиде независящим от координаты z , в уравнениях (4) полагаем $\partial/\partial z = 0$. При этом третье уравнение системы (4) становится независимым от первых двух уравнений. В результате компонента поля E_z , не входящая также в граничное условие (6), оказывается независимой от компонент E_r и E_φ , а поэтому можно положить $E_z = 0$. Тогда из первых двух уравнений системы (4), после исключения E_r , получается следующее уравнение:

$$\frac{d}{dr} \left(\frac{1}{r} \frac{d}{dr} r E_\varphi \right) + \frac{\omega^2}{c^2} \tilde{\varepsilon}_\perp E_\varphi = 0, \quad \tilde{\varepsilon}_\perp = \varepsilon_\perp - \frac{g^2}{\varepsilon_\perp}, \quad (24)$$

справедливое как внутри соленоида ($r < R_S$), так и вне его ($r > R_S$); вне соленоида $\tilde{\varepsilon}_\perp = 1$. Граничные условия для уравнения (24) с учетом (6), (7) и (10) имеют вид

$$\begin{aligned} E_\varphi(R_S + 0) - E_\varphi(R_S - 0) &= 0, \\ \frac{dE_\varphi}{dr}(R_S + 0) - \frac{dE_\varphi}{dr}(R_S - 0) &= -i \frac{\omega}{c} \frac{4\pi}{c} \frac{N_S}{L_S} I. \end{aligned} \quad (25)$$

Кроме того, функция $E_\varphi(r)$ должна быть ограничена в нуле и на бесконечности.

При $r < R_S$ ограниченное решение уравнения (24) имеет вид $E_\varphi(r) = A_1 J_1[(\omega/c)\sqrt{\tilde{\varepsilon}_\perp}r]$, где $J_1(x)$ — функция Бесселя 1-го порядка. В области $r > R_S$ решение нужно взять следующее: $E_\varphi(r) = A_2 H_1^{(1)}[(\omega/c)r]$, где $H_1^{(1)}(x)$ — функция Ганкеля 1-го рода. Записывая решение через функцию Ганкеля 1-го рода, мы использовали принцип причинности (условие излучения [34]), согласно которому при $\omega = \omega + i\delta$ при $\delta \rightarrow +0$, поле должно экспоненциально затухать при $r \rightarrow \infty$ ($\sim \exp(-\delta r/c)$). Подставляя найденные решения в граничные условия (25) и определяя постоянные $A_{1,2}$, находим электрическое поле в объеме соленоида ($r \leq R_S$)

$$E_\varphi(r) = i \frac{4\pi}{c} \frac{N_S}{L_S} I \frac{J_1[(\omega/c)\sqrt{\tilde{\varepsilon}_\perp}r] H_1^{(1)}[(\omega/c)R_S]}{\sqrt{\tilde{\varepsilon}_\perp} J_0[(\omega/c)\sqrt{\tilde{\varepsilon}_\perp}R_S] H_1^{(1)}[(\omega/c)R_S] - J_1[(\omega/c)\sqrt{\tilde{\varepsilon}_\perp}R_S] H_0^{(1)}[(\omega/c)R_S]}. \quad (26)$$

В квазистационарном приближении, учитывая первое неравенство (11) и асимптотику цилиндрических функций при малом значении аргумента, решение (26) преобразуем к виду

$$E_\varphi(r) = i \frac{4\pi}{c} \frac{N_S}{L_S} I \frac{J_1[(\omega/c)\sqrt{\tilde{\varepsilon}_\perp}r]}{\sqrt{\tilde{\varepsilon}_\perp} J_0[(\omega/c)\sqrt{\tilde{\varepsilon}_\perp}R_S]}. \quad (27)$$

Решение (27) можно получить и напрямую из уравнения (24). Действительно, в квазистационарном приближении в уравнении (24) в области $r > R_S$ следует отбросить второе слагаемое в левой части. Ограниченнное на бесконечности решение получившегося при этом уравнения имеет вид $E_\varphi(r) = A_2/r$. Его подстановка в граничные условия (25) опять приводит к формуле (27). Заметим, что даже в квазистационарном приближении в левой части уравне-

ния (24) мы не отбрасываем второе слагаемое, пропорциональное $\tilde{\varepsilon}_\perp (\omega^2/c^2) R_S^2$. Например, при $\omega \approx \Omega_e$ это слагаемое существенно и в квазистационарном приближении. И вообще, если это слагаемое отбросить, то от плазмы ничего не останется.

Между решениями (26) и (27) имеется важное различие. Решение (26) учитывает вынос электромагнитного излучения из соленоида через его боковую поверхность $r = R_S$. Квазистационарное решение (27) такого излучения естественно не учитывает. Но в области высоких частот $\omega > c/R_S$ излучение из соленоида в общем балансе энергии может играть заметную роль, как некий дополнительный канал расхода энергии внешнего источника. Чтобы исключить излучение через боковую поверхность соленоида, можно предполо-

жить, что соленоид заключен в проводящий цилиндрический кожух радиуса $r = \mathcal{R} > R_S$. Тогда, дополняя краевую задачу (24), (25) условием $E_\varphi(\mathcal{R}) = 0$ и находя ее решение, не сложно получить для $E_\varphi(r)$ выражение, отличающееся от (26) только заменой функций Ганкеля $H_{0,1}^{(1)}[(\omega/c)R_S]$ на функции $X_{0,1}[(\omega/c)R_S] = J_{0,1}[(\omega/c)R_S]N_1[(\omega/c)\mathcal{R}] - N_{0,1}[(\omega/c)R_S]J_1[(\omega/c)\mathcal{R}]$.

Вычислим теперь импеданс рассматриваемого соленоида. Используем для этого результат квазистационарного приближения (27), подставляя кото-

рый в формулу (15), имеем

$$Z_S(\omega) = Z'_S(\omega) + iZ''_S(\omega) = -i\omega\Lambda_0 \frac{2J_1[(\omega/c)\sqrt{\tilde{\varepsilon}_\perp}R_S]}{(\omega/c)\sqrt{\tilde{\varepsilon}_\perp}R_S J_0[(\omega/c)\sqrt{\tilde{\varepsilon}_\perp}R_S]}, \quad (28)$$

где $\Lambda_0 = 4\pi^2 R_S^2 N_S^2 c^{-2} L_S^{-1}$ — индуктивность соленоида без плазменного заполнения. Приведем еще формулу для импеданса плазменного соленоида, заключенного в проводящий кожух

$$Z_S(\omega) = -i\omega\Lambda_0 \frac{2[(\omega/c)R_S]^{-1} J_1[(\omega/c)\sqrt{\tilde{\varepsilon}_\perp}R_S] X_1[(\omega/c)R_S]}{\sqrt{\tilde{\varepsilon}_\perp} J_0[(\omega/c)\sqrt{\tilde{\varepsilon}_\perp}R_S] X_1[(\omega/c)R_S] - J_1[(\omega/c)\sqrt{\tilde{\varepsilon}_\perp}R_S] X_0[(\omega/c)R_S]}. \quad (28a)$$

Индуктивность плазменного соленоида можно определить формулой $\Lambda_S(\omega) = -Z''_S(\omega)/\omega$, а его активное сопротивление равно вещественной части импеданса $Z'_S(\omega)$.

Проанализируем выражение (28) для плазмы с диэлектрической проницаемостью (1), (2). Если столкновения отсутствуют, то активное сопротивление плазменного соленоида равно нулю, а выражение для его индуктивности оказывается следующим:

$$\Lambda_S(\omega) = \Lambda_0 \frac{2J_1(a)}{aJ_0(a)}, \quad a^2 = \frac{(\omega^2 - \omega_{Le}^2)^2 - \omega^2\Omega_e^2 R_S^2}{\omega^2 - \Omega_g^2 c^2}, \quad (29)$$

где $\Omega_g = \sqrt{\omega_{Le}^2 + \Omega_e^2}$ — верхняя гибридная частота. Рассмотрим предельные случаи. В отсутствие плазмы, т.е. при $\omega_{Le} = 0$, с учетом условия квазистационарности (11) для индуктивности (29) имеем, как и должно быть, $\Lambda_S(\omega) = \Lambda_0$. В отсутствии внешнего магнитного поля ($\Omega_e = 0$) формула (29) преобразуется к виду

$$\Lambda_S(\omega) = \Lambda_0 \frac{2J_1(\sqrt{\omega^2 - \omega_{Le}^2}R_S/c)}{(\sqrt{\omega^2 - \omega_{Le}^2}R_S/c) J_0(\sqrt{\omega^2 - \omega_{Le}^2}R_S/c)}. \quad (30)$$

В квазистационарной области частот индуктивность (30) ни нулей, ни полюсов не имеет. При $\omega \rightarrow \omega_{Le}$ индуктивность (30) стремится к индуктивности соленоида без плазменного заполнения Λ_0 . В случае $\omega < \omega_{Le}$ формулу (30) удобно записать следующим образом:

$$\Lambda_S(\omega) = \Lambda_0 \frac{2I_1(\sqrt{\omega_{Le}^2 - \omega^2}R_S/c)}{(\sqrt{\omega_{Le}^2 - \omega^2}R_S/c) I_0(\sqrt{\omega_{Le}^2 - \omega^2}R_S/c)}. \quad (31)$$

Индуктивность (31) меньше, чем Λ_0 , что связано с экранированием низкочастотного поперечного поля в плазме. При $\omega_{Le}R_S/c \gg 1$ и $\omega \ll \omega_{Le}$ (случай плотной плазмы) из (31) имеем $\Lambda_S(\omega) = 2c\Lambda_0/(\omega_{Le}R_S) \ll \Lambda_0$. В пределе сильного внешнего магнитного поля ($\Omega_e \rightarrow \infty$) из (29) имеем $\Lambda_S(\omega) = \Lambda_0$. Последнее понятно: в сильном магнитном поле поперечные движения электронов запрещены, что для азимутального электрического поля эквивалентно отсутствию плазмы. Таким образом, в предельных случаях нулевого и очень сильного внешнего магнитного поля в квазистационарной области частот индуктивность плазменного соленоида каких-либо резонансных особенностей не имеет.

При промежуточных значениях циклотронной и ленгмюровской частот, нули и полюса индуктивности (29) и импеданса (28) могут попадать в низкочастотную (квазистационарную) область. Из формулы (28) следует, что при отсутствии столкновений нули и полюса импеданса плазменного соленоида совпадают с корнями уравнения

$$\frac{(\omega^2 - \omega_{Le}^2)^2 - \omega^2\Omega_e^2}{\omega^2 - \Omega_g^2} = \mu_n^2 \frac{c^2}{R_S^2}, \quad \mu_n = \begin{cases} \mu_{1n}, \\ \mu_{0n}. \end{cases} \quad (32)$$

При $\mu_n = \mu_{1n}$ ($n = 1, 2, \dots$) из (32) определяются нули $\omega = \omega_n^{(0)}$, а при $\mu_n = \mu_{0n}$ уравнение (32) дает полюса $\omega = \omega_n^{(\infty)}$ импеданса (28). Здесь μ_{1n} — корни уравнения $J_1(x) = 0$, а μ_{0n} — корни уравнения $J_0(x) = 0$. Несложно видеть, что в интересующую нас квазистационарную область частот корни уравнения (32) попадают только при $\Omega_e R_S/c < 1$ и $\omega_{Le} R_S/c < 1$. В противном случае резонансных то-

чек у импеданса (28) в квазистационарной области частот нет.

Используя первое неравенство (11), легко показать, что в интересующей нас области частот и параметров плазмы корни уравнения (32) определяются следующей приближенной формулой:

$$\omega_n^{(0,\infty)} \approx \Omega_g \sqrt{\left(1 + \frac{\Omega_e^2}{\Omega_g^2} \frac{\Omega_e^2 R_S^2}{c^2 \mu_n^2}\right) \left(1 + \frac{\Omega_e^2 R_S^2}{c^2 \mu_n^2}\right)^{-1}} \leq \Omega_g. \quad (33)$$

При получении (33) использован тот факт, что μ_n^2 являются достаточно большими величинами (не менее $\mu_{01}^2 \approx 5.8$). При $\Omega_e \rightarrow 0$ все корни (33) становятся равными ω_{Le} .

Точки, определяемые формулами (33), расположены достаточно близко друг к другу. Поэтому даже при небольшой диссипации соседние нули $\omega_n^{(0)}$ и полюса $\omega_n^{(\infty)}$ становятся неразличимыми. Резонансное поглощение энергии внешнего источника в плазме все же имеется (несмотря на слияние резонансов), причем на частоте ω , близкой к верхней гибридной частоте Ω_g . То, что резонансное поглощение должно происходить именно вблизи Ω_g видно уже из формулы (33), поскольку для всех больших n имеем $\omega_n^{(0,\infty)} \approx \Omega_g$.

На рис. 2 показаны вещественная (сплошная линия) и мнимая (штриховая линия) части импеданса однородного плазменного соленоида без кожуха в зависимости от частоты внешнего источника при $\omega_{Le} R_S/c = 0.5$, $\Omega_e R_S/c = 0.7$ и $\nu_e = 0.03\omega_{Le}$. Значительное поглощение и возмущение мнимой части импеданса наблюдаются вблизи частот (33), т.е. около Ω_g , что связано с резонансным возбуждением в плазме электромагнитных колебаний B -типа. Штриховая кривая фактически представляет собой индуктивность плазменного соленоида и за исключением узкой области, вблизи частот (33) индуктивность плазменного соленоида близка к вакуумному значению Λ_0 . Заметим, что параметр $\omega R_S/c$ принимает на рис. 2 довольно большие значения, а поэтому рис. 2 находится на грани применимости квазистационарного приближения. Мы привели здесь такой «не вполне надежный» рисунок только для того, чтобы сделать более заметными характерные особенности импеданса и индуктивности плазменного соленоида. При уменьшении параметра $\Omega_g R_S/c$ структура зависимостей, представленных на рис. 2 сохраняется, но особенности кривых становятся менее выраженным. Кроме того, как показывают расчеты, вещественная часть импеданса с хорошей точностью совпадает с эффективным сопротивлением, вычисленным исходя из выражения для объемной

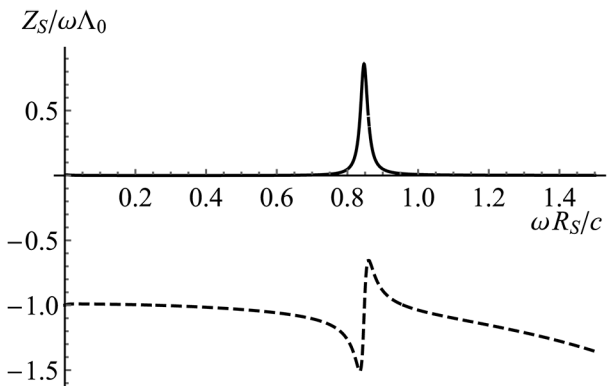


Рис. 2. Комплексный импеданс однородного плазменного соленоида без кожуха: сплошная линия — вещественная часть, штриховая — мнимая часть

плотности энергии (22), и за пределами квазистационарного приближения. Поэтому в дальнейшем для обозначения эффективного сопротивления будем использовать обозначение Z'_S , такое же, как и для вещественной части импеданса.

Согласно «каноническим» формулам (17) и (18) в точке $\omega = \omega^{(\infty)}$ (при резонансе токов) мнимая часть импеданса обращается в ноль, а вещественная часть достигает максимума, а в точке $\omega = \omega^{(0)}$ (при резонансе напряжений) обращается в ноль мнимая часть импеданса. Как видно из рис. 2, мнимая часть импеданса в ноль не обращается вообще. Такое не совсем обычное поведение импеданса в резонансной точке обусловлено слиянием близко расположенных друг к другу полюсов $\omega_n^{(\infty)}$ и нулей $\omega_n^{(0)}$. Поскольку действительная часть импеданса на рис. 2 имеет достаточно резкий максимум, соответствующий резонансу, следует однозначно классифицировать как резонанс токов. Заметим, что различие между резонансами токов и напряжений в плазменном соленоиде определяется величиной компоненты поля $E_\varphi(r)$ на обмотке соленоида (см. формулу (27)): когда $E_\varphi(R_S)$ достигает максимального значения, имеет место резонанс токов, а когда $E_\varphi(R_S) \approx 0$ падение напряжения на соленоиде мало и реализуется резонанс напряжений. Расчеты показывают (см. рис. 2 и далее), что для плазменного соленоида резонанс напряжений является нетипичным явлением.

На рис. 3 в зависимости от безразмерной циклотронной частоты $\Omega_e R_S/c$ представлены вещественные части импеданса (28), рассчитанные при различных плазменных частотах $\omega_{Le} R_S/c = 0.1; 0.2; 0.25; 0.285; 0.3$, постоянной частоте источника $\omega R_S/c = 0.3$ и $\nu_e = 0.03\omega_{Le}$. Резонансные циклотронные частоты определяются из уравнений

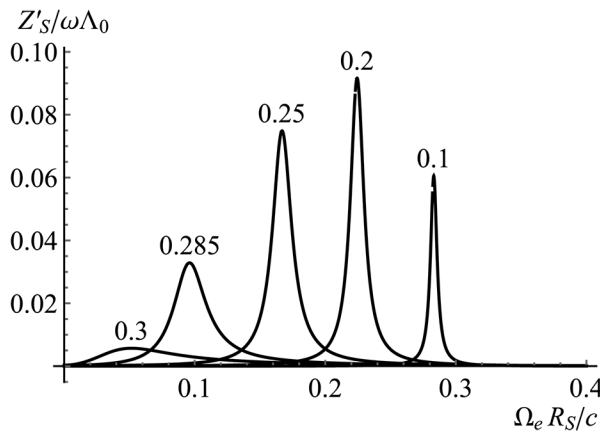


Рис. 3. Вещественная часть импеданса однородного плазменного соленоида. Числа около кривых соответствуют значению $\omega_{Le}R_S/c$

$\omega = \omega_n^{(\infty)}$, решая которые с хорошей точностью имеем $\Omega_e \approx \sqrt{\omega^2 - \omega_{Le}^2}$, что полностью согласуется с рис. 3. При увеличении ω_{Le} резонансы смещаются в область меньших циклотронных частот, а при $\omega_{Le} > \omega$ вообще пропадают. В соответствии с формулой (19) кривые, представленные на рис. 3, определяют в относительных единицах мощности источника, выделяемые в плазменном соленоиде, когда активное сопротивление цепи велико.

При повышении частот Ω_e и ω_{Le} резонансная частота выходит за пределы квазистационарного частотного диапазона. При этом для исследования резонанса в плазменном соленоиде следует использовать формулу (22), которая в рассматриваемом сейчас случае записывается в виде

$$W(r) = \frac{\omega}{8\pi} q |E_\varphi(r)|^2, \quad (34)$$

$$q = \varepsilon''_\perp (1 + |g|^2 / |\varepsilon_\perp|^2) - 2g'' \operatorname{Re}(g/\varepsilon_\perp).$$

Здесь было учтено первое уравнение системы (4) при $\partial/\partial z = 0$. Подставляя в (34) поле (26) и выполняя интегрирование по объему соленоида, можно получить выражение для полной мощности внешнего источника, выделяемой в плазме, которое из-за громоздкости мы здесь не приводим, а результат расчета для плазменного соленоида с параметрами $\omega_{Le}R_S/c = 5$, $\Omega_eR_S/c = 7$, $\nu_e = 0.03\omega_{Le}$ представлен на рис. 4а. Как видно, пики эффективного сопротивления оказываются широкими и размытыми. Все это свидетельствует о том, что мощность источника расходуется не на возбуждение собственных волн в плазме, а идет на излучение из соленоида. Это обстоятельство следует принимать во внимание при интерпретации экспериментов по индуктивным раз-

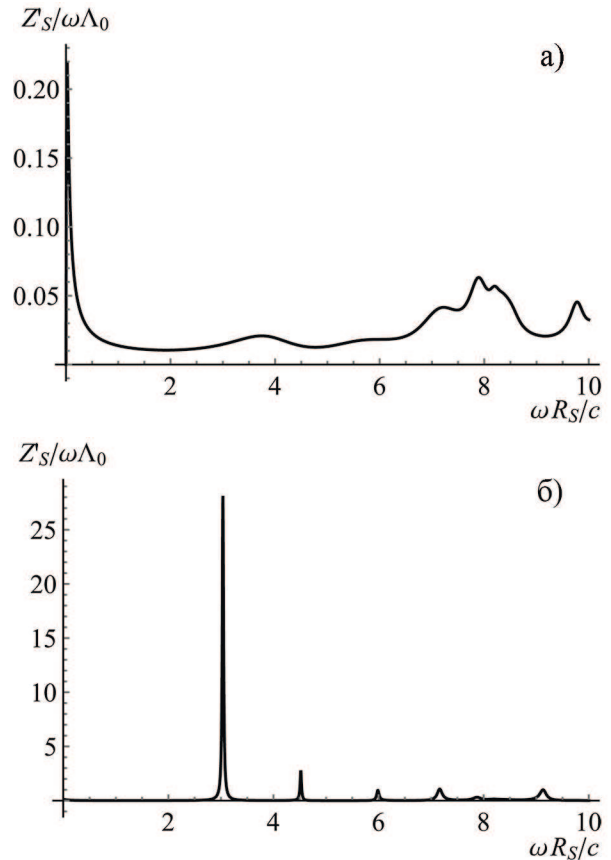


Рис. 4. Эффективное сопротивление однородного плазменного соленоида при учете выноса излучения (а) и при наличии ограничивающего кожуха (б)

рядам в области частот, сопоставимых с величинами c/R_S и c/L_S .

Ранее уже говорилось, что избежать излучения из соленоида можно при помощи экранирующего кожуха, окружающего соленоид. На рис. 4б представлен результат расчета мощности источника для соленоида с кожухом при $R/R_S = 1.6$. Расчет был проведен по формуле (34) с полем (26), в котором функции Ганкеля заменены на функции $X_{0,1}[(\omega/c)R_S]$. Как видим, результат кардинально отличается от представленного на рис. 4а.

4. ОГРАНИЧЕННЫЙ ПЛАЗМЕННЫЙ СОЛЕНОИД БЕЗ ВНЕШНЕГО МАГНИТНОГО ПОЛЯ

Теория плазменного соленоида существенно усложняется в случае, когда электромагнитное поле в соленоиде зависит от продольной координаты z . Такая зависимость естественным образом возникает в соленоиде с переменной плотностью числа

витков обмотки, если число витков не велико или в ограниченном соленоиде, у которого на границах $z = 0$ и $z = L_S$ расположены проводящие плоскости. Рассмотрим случай ограниченного соленоида. На проводящих плоскостях равны нулю тангенциальные составляющие напряженности электрического поля. Поэтому имеют место следующие граничные условия:

$$E_r|_{z=0} = E_r|_{z=L_S} = 0, \quad E_\varphi|_{z=0} = E_\varphi|_{z=L_S} = 0. \quad (35)$$

Учитывая граничные условия (35), будем искать решение уравнений (4) в виде

$$\begin{aligned} E_r(z, r) &= \sum_{n=1}^{\infty} E_{rn}(r) \sin(k_{zn} z), \\ E_\varphi(z, r) &= \sum_{n=1}^{\infty} E_{\varphi n}(r) \sin(k_{zn} z), \\ E_z(z, r) &= \sum_{n=1}^{\infty} E_{zn}(r) \cos(k_{zn} z), \end{aligned} \quad (36)$$

где $k_{zn} = \pi n / L_S$ — продольные волновые числа, возбуждаемых в соленоиде электромагнитных колебаний. Подстановка разложений (36) в уравнения (4) приводит к следующим уравнениям для функций $E_{rn}(r)$, $E_{\varphi n}(r)$ и $E_{zn}(r)$:

$$\begin{aligned} \frac{d}{dr} \left(\frac{1}{r} \frac{d}{dr} r E_{\varphi n} \right) - k_{zn}^2 E_{\varphi n} + \frac{\omega^2}{c^2} \varepsilon_\perp E_{\varphi n} - \\ - i \frac{\omega^2}{c^2} g E_{rn} = 0, \\ k_{zn} \left(k_{zn} E_{rn} - \frac{d E_{zn}}{dr} \right) - \frac{\omega^2}{c^2} \varepsilon_\perp E_{rn} - \\ - i \frac{\omega^2}{c^2} g E_{\varphi n} = 0, \\ \frac{1}{r} \frac{d}{dr} r \left(\frac{d E_{zn}}{dr} - k_{zn} E_{rn} \right) + \frac{\omega^2}{c^2} \varepsilon_{||} E_{zn} = 0. \end{aligned} \quad (37)$$

Здесь компоненты тензора диэлектрической проницаемости являются функциями координаты r , поэтому уравнения (37) справедливы как в плазме, так и вне плазмы. Подставляя второе выражение (36) в (14) и учитывая (12), преобразуем уравнение внешней цепи к виду

$$U_0 = IR_0 - \pi R_S N_S \sum_{n=1}^{\infty} P_n E_{\varphi n}(R_S), \quad (38)$$

где

$$P_n = \int_0^\pi \sin nx dx / \int_0^\pi \sin^2 nx dx = 2 \frac{1 - \cos \pi n}{\pi n}. \quad (39)$$

Наконец, подставляя второе выражение (36) в граничное условие (6), получаем

$$\begin{aligned} \frac{d E_{\varphi n}}{dr}(R_S + 0) - \frac{d E_{\varphi n}}{dr}(R_S - 0) = \\ = -i \frac{\omega}{c} \frac{4\pi}{c} \frac{2}{L_S} \int_0^{L_S} J(z) \sin(k_{zn} z) dz. \end{aligned} \quad (40)$$

Если плотность обмотки соленоида постоянна по длине соленоида и число витков достаточно велико, то граничное условие (40) упрощается. Тогда, с учетом непрерывности тангенциальных составляющих электрического поля (7), имеем следующие граничные условия для уравнений (37):

$$\begin{aligned} E_{\varphi n}(R_S + 0) - E_{\varphi n}(R_S - 0) &= 0, \\ E_{zn}(R_S + 0) - E_{zn}(R_S - 0) &= 0, \\ \frac{d E_{\varphi n}}{dr}(R_S + 0) - \frac{d E_{\varphi n}}{dr}(R_S - 0) &= \\ = -i \frac{\omega}{c} \frac{4\pi}{c} \frac{N_S}{L_S} I P_n. \end{aligned} \quad (41)$$

Заметим, что коэффициенты P_n зависят от конструкции катушки, охватывающей плазму, и от условий на продольных границах плазмы, т.е. в принципе P_n могут определяться какими-то другими формулами. Мы будем использовать формулы (39).

Исключая функции E_{rn} , запишем уравнения поля (37) в виде

$$\begin{aligned} \frac{d}{dr} \frac{1}{r} \frac{d}{dr} (r E_{\varphi n}) - \left(\chi_n^2 - \frac{\omega^4}{c^4 \chi_n^2} g^2 \right) E_{\varphi n} = \\ = i \frac{\omega^2}{c^2} \frac{k_{zn}}{\chi_n^2} g \frac{d E_{zn}}{dr}, \\ \frac{1}{r} \frac{d}{dr} \left(r \frac{\varepsilon_\perp}{\chi_n^2} \frac{d E_{zn}}{dr} \right) - \varepsilon_{||} E_{zn} = \\ = -ik_{zn} \frac{1}{r} \frac{d}{dr} \left(r \frac{g}{\chi_n^2} E_{\varphi n} \right), \end{aligned} \quad (42)$$

где

$$\chi_n^2 = k_{zn}^2 - \frac{\omega^2}{c^2} \varepsilon_\perp. \quad (43)$$

Уравнения (42) справедливы как в объеме плазмы (при $r < R_S$), так и во внешнем пространстве (при $r > R_S$).

Анализ системы (42) начнем со случая отсутствия внешнего магнитного поля, когда $g = 0$, $\varepsilon_\perp = \varepsilon_{||}$. В этом случае второе уравнение системы (42) отцеплено от первого уравнения, и компоненту E_z , поскольку она не возбуждается азимутальным током, можно положить равной нулю. При этом первое уравнение упрощается:

$$\frac{d}{dr} \frac{1}{r} \frac{d}{dr} r E_{\varphi n} - \chi_n^2 E_{\varphi n} = 0. \quad (44)$$

Если предположить, что выполнено неравенство

$$\omega < \pi c / L_S, \quad (45)$$

которое согласуется с общим условием квазистационарности, то ограниченное в нуле и на бесконечности решение уравнения (44) имеет вид

$$E_{\varphi n}(r) = \begin{cases} A_n I_1(\chi_n r), & r < R_S, \\ B_n K_1(\chi_{0n} r), & r > R_S, \end{cases} \quad (46)$$

где A_n и B_n — постоянные, а χ_{0n}^2 — величины (43), взятые при $\varepsilon_{\perp} = 1$.

При большой длине соленоида, или в высокочастотной области, неравенство (45) является слишком жестким. Если не использовать неравенство (45), то возникает трудность при записи ограниченного на бесконечности решения уравнения (44). В этом случае решение можно выразить через функцию Ганкеля $H_1^{(1)}(\sqrt{\omega^2/c^2 - k_{zn}^2}r)$ (см. вывод формулы (26)), а можно предположить, что соленоид заключен в проводящий цилиндрический кожух радиуса $r = \mathcal{R} > R_S$. При наличии кожуха вместо (46) имеем следующее решение:

$$E_{\varphi n}(r) = \begin{cases} A_n I_1(\chi_n r), & r < R_S, \\ B_n [K_1(\chi_{0n} r)I_1(\chi_{0n} \mathcal{R}) - I_1(\chi_{0n} r)K_1(\chi_{0n} \mathcal{R})] \equiv B_n X_1(\chi_{0n} r), & R_S < r < \mathcal{R}. \end{cases} \quad (47)$$

Для определения постоянных A_n и B_n решение (46) сшивается в точке $r = R_S$ при помощи первого и третьего условий (41). В результате для азимутальной составляющей напряженности электрического поля соленоида без проводящего кожуха получаем следующее выражение (при $r \leq R_S$):

$$E_{\varphi n}(r) = i \frac{\omega}{c} \frac{4\pi}{c} \frac{N_S}{L_S} P_n \frac{I_1(\chi_n r)K_1(\chi_{0n} R_S)}{\chi_n I_0(\chi_n R_S)K_1(\chi_{0n} R_S) + \chi_{0n} I_1(\chi_n R_S)K_0(\chi_{0n} R_S)} I. \quad (48)$$

Подставляя (48) в уравнение цепи (38) и учитывая формулу (15), получим следующее выражение для импеданса ограниченного плазменного соленоида без кожуха в отсутствие внешнего магнитного поля

$$Z_S(\omega) = -i\omega \Lambda_0 \sum_{n=1} P_n^2 \frac{I_1(\chi_n R_S)K_1(\chi_{0n} R_S)}{\chi_n R_S I_0(\chi_n R_S)K_1(\chi_{0n} R_S) + \chi_{0n} R_S I_1(\chi_n R_S)K_0(\chi_{0n} R_S)}. \quad (49)$$

В случае плазменного соленоида с проводящим кожухом (в этом случае вместо (46) берется решение (47)) комплексный импеданс имеет вид

$$Z_S(\omega) = -i\omega \Lambda_0 \sum_{n=1} P_n^2 \frac{I_1(\chi_n R_S)X_1(\chi_{0n} R_S)}{\chi_n R_S I_0(\chi_n R_S)X_1(\chi_{0n} R_S) + \chi_{0n} R_S I_1(\chi_n R_S)X_0(\chi_{0n} R_S)}, \quad (49a)$$

где $X_0(\chi_{0n} r) = K_0(\chi_{0n} r)I_1(\chi_{0n} \mathcal{R}) + I_0(\chi_{0n} r)K_1(\chi_{0n} \mathcal{R})$. Формулой (49) можно пользоваться только в частотном диапазоне (45). В случае формулы (49a) подобное ограничение отсутствует.

Знаменатели в выражении (49)

$$D_{Bn}(\chi_n R_S) \equiv \chi_n I_0(\chi_n R_S)K_1(\chi_{0n} R_S) + \chi_{0n} I_1(\chi_n R_S)K_0(\chi_{0n} R_S) \quad (50)$$

являются дисперсионными функциями для волн B -типа плазменного цилиндра со свободной поверхностью. Таких волн в плазменном цилиндре без внешнего магнитного поля нет, поскольку дисперсионные уравнения $D_{Bn} = 0$ при $\nu_e = 0$ вещественных ре-

шений относительно частоты ω не имеют⁶⁾. Таким образом, у импеданса (49) резонансные особенности — нули и полюса — отсутствуют. Следовательно, отсутствует и резонансное поглощение мощности внешнего источника в ограниченном плазменном соленоиде без кожуха и внешнего магнитного поля. Ранее тот же результат был получен для однородного соленоида, при расчете которого полагалось $\partial/\partial z = 0$ (см. формулы (30) и (31)). У импеданса, определяемого формулой (49a), резонансные особенности имеются, но только в высокочастотной обла-

⁶⁾ Комплексные решения соответствуют затухающим возмущениям поля. Затухание обусловлено свободным излучением в окружающее плазменный цилиндр пространство. Плазменный цилиндр со свободной поверхностью для полей B -типа волноводом не является.

сти, где квазистационарное приближение, а значит и само понятие импеданса, неприменимы.

На рис. 5 представлен комплексный импеданс (49) ограниченного плазменного соленоида с однородной плотностью обмотки в отсутствие внешнего магнитного поля при $\omega_{Le}R_S/c = 0.5$, $\nu_e = 0.03\omega_{Le}$, $L_S/R_S = 2$. Монотонный характер представленных зависимостей свидетельствует об отсутствии резонансов, связанных с возбуждением собственных волн B -типа в плазменном цилиндре со свободной поверхностью. Приведенная на рис. 5 зависимость мнимой части импеданса свидетельствует об отсутствии зависимости индуктивности от частоты. При мерно такой же вид имеет импеданс соленоида, рассчитанный по формуле (49а).

Импеданс и индуктивность ограниченного соленоида зависят от его длины L_S . От длины зависит и индуктивность вакуумного соленоида Λ_0 , но в случае ограниченного плазменного соленоида эта зависимость существенно более сильная. На рис. 6 в зависимости от длины L_S показана относительная индуктивность плазменного соленоида L_S/Λ_0 , вычис-

ленная по импедансу (49а). При больших значениях L_S она стремится к относительной индуктивности плазменного соленоида большой длины, вычисленной по импедансу (28а). Интуитивно ясно, что чем длиннее соленоид, тем меньше влияние его границ $z = 0, L_S$. Рис. 6 свидетельствует, что это именно так.

При нарушении условия квазистационарности формулы (49) и (49а) непригодны, непригодна и формула (48) для гармоник азимутальной составляющей напряженности электрического поля, поскольку не учитывает излучения через боковую поверхность соленоида. Вместо учета излучения предположим наличие проводящего кожуха радиуса \mathcal{R} , охватывающего соленоид. Поле в плазме в этом случае дается формулой (48), в которой функции $K_{0,1}(\chi_{0n}R_S)$ заменены на $X_{0,1}(\chi_{0n}R_S)$. Подставляя $E_{\varphi n}(r)$ во вторую формулу (36), а затем в формулу (22), после интегрирования по объему соленоида получим следующее выражение для мощности источника, выделяемой в плазменном соленоиде с кожухом в отсутствие внешнего магнитного поля:

$$W(\omega) = \omega \frac{\Lambda_0 I^2}{2} \varepsilon''_{\perp} \sum_n \left| \frac{(\omega/c) X_1(\chi_{0n}R_S)}{\chi_n I_0(\chi_n R_S) X_1(\chi_{0n}R_S) + \chi_{0n} I_1(\chi_n R_S) X_0(\chi_{0n}R_S)} \right|^2 \frac{P_n^2}{R_S^2} \int_0^{R_S} I_1(\chi_n r) I_1(\chi_n^* r) r dr \quad (51)$$

Для плазменного соленоида с параметрами $\omega_{Le}R_S/c = 5$, $\nu_e = 0.03\omega_{Le}$, $L_S/R_S = 2$ и $\mathcal{R}/R_S = 1.6$ мощность (51) приведена на рис. 7. Видно, что за пределами квазистационарной области частот появился максимум мощности. Они обусловлены резонансным возбуждением источником собственных волн B -типа волновода радиуса \mathcal{R} с плазменным цилиндром радиуса R_S . Можно показать, что в знаменателе выражения под знаком модуля в (51) находится дисперсионная функция именно этих волн (эта же функция находится в знаменателе выражения (49а)).

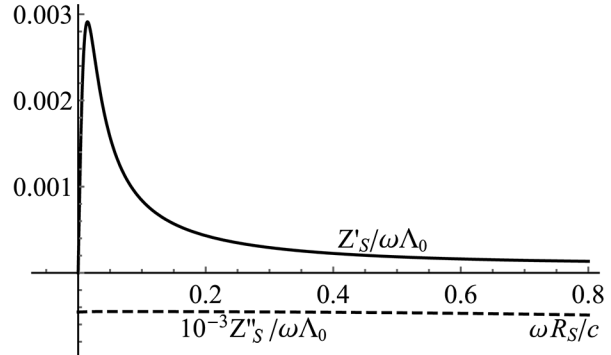


Рис. 5. Комплексный импеданс ограниченного плазменного соленоида без кожуха в отсутствие внешнего магнитного поля

ний (42) ищем в виде

$$\begin{aligned} E_{\varphi n} &= A_n J_1(\kappa_n r), \\ E_{zn} &= B_n J_0(\kappa_n r), \end{aligned} \quad (52)$$

где A_n, B_n — постоянные, а κ_n — неизвестные собственные значения. Подстановка (52) в уравнения

5. ОГРАНИЧЕННЫЙ ПЛАЗМЕННЫЙ СОЛЕНОИД С МАГНИТОАКТИВНОЙ ПЛАЗМОЙ

Перейдем теперь к общему случаю магнитоактивной плазмы. В области $r < R_S$ решение уравнений

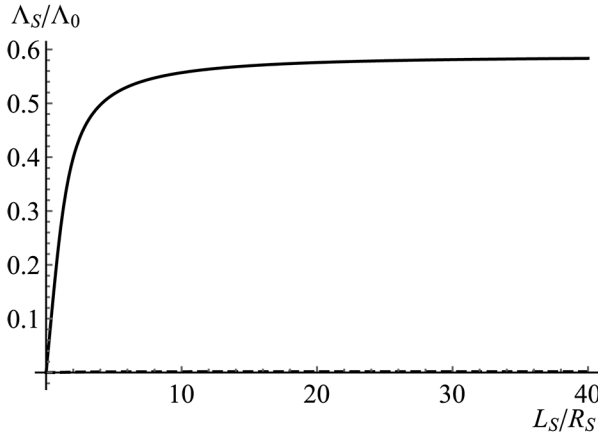


Рис. 6. Индуктивность ограниченного плазменного соленоида в зависимости от его длины

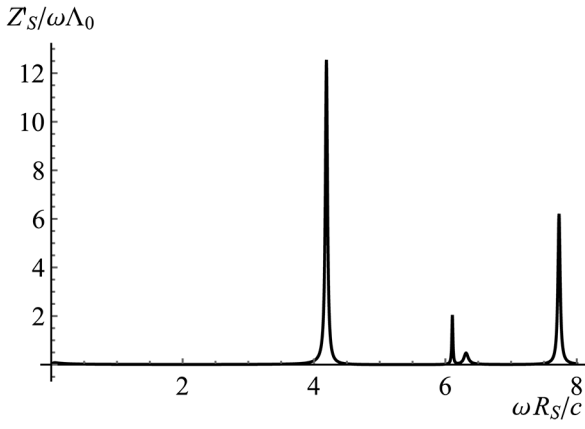


Рис. 7. Эффективное сопротивление ограниченного плазменного соленоида с кожухом в отсутствие внешнего магнитного поля

(42) приводит к однородной системе двух уравнений для A_n, B_n

$$\begin{aligned} \left[\kappa_n^2 + \left(\chi_n^2 - \frac{\omega^4}{c^4 \chi_n^2} g^2 \right) \right] A_n &= i \frac{\omega^2}{c^2} \frac{k_{zn} \kappa_n}{\chi_n^2} g B_n, \\ \left(\kappa_n^2 + \frac{\varepsilon_{||}}{\varepsilon_{\perp}} \chi_n^2 \right) B_n &= i k_{zn} \kappa_n \frac{g}{\varepsilon_{\perp}} A_n. \end{aligned} \quad (53)$$

Откуда получается уравнение для определения собственных значений κ_n

$$\begin{aligned} \varepsilon_{\perp} \kappa_n^4 + \left[\chi_n^2 (\varepsilon_{\perp} + \varepsilon_{||}) + \frac{\omega^2}{c^2} g^2 \right] \kappa_n^2 + \\ + \left(\chi_n^4 - \frac{\omega^4}{c^4} g^2 \right) \varepsilon_{||} = 0 \end{aligned} \quad (54)$$

и соотношение между постоянными в решении (52)

$$B_n = i \frac{k_{zn} \kappa_n g}{\varepsilon_{||} \chi_n^2 + \varepsilon_{\perp} \kappa_n^2} A_n \equiv i \beta(\kappa_n) A_n. \quad (55)$$

Корни биквадратного уравнения (54) запишем в виде $\kappa_{n1}, -\kappa_{n1}, \kappa_{n2}, -\kappa_{n2}$, где

$$\begin{aligned} \kappa_{n1,2}^2 = \frac{1}{2\varepsilon_{\perp}} \left\{ -(\varepsilon_{\perp} + \varepsilon_{||}) \chi_n^2 - g^2 \frac{\omega^2}{c^2} \pm \right. \\ \left. \pm \sqrt{\left[(\varepsilon_{\perp} - \varepsilon_{||}) \chi_n^2 + g^2 \frac{\omega^2}{c^2} \right]^2 + 4\varepsilon_{||} g^2 k_{zn}^2 \frac{\omega^2}{c^2}} \right\}. \end{aligned} \quad (56)$$

Поскольку $J_1(-z) = -J_1(z)$, $J_0(-z) = J_0(z)$, $\beta(-z) = -\beta(z)$, то с учетом (52) общее решение первых двух уравнений системы (42) оказывается следующим:

$$\begin{aligned} E_{\varphi n} &= A_{n1} J_1(\kappa_{n1} r) + A_{n2} J_1(\kappa_{n2} r), \\ E_{zn} &= i \beta(\kappa_{n1}) A_{n1} J_0(\kappa_{n1} r) + i \beta(\kappa_{n2}) A_{n2} J_0(\kappa_{n2} r), \end{aligned} \quad (57)$$

где $A_{n1,2}$ — постоянные.

В вакуумной области $r > R_S$ ограниченные решения первых двух уравнений (42) имеют вид

$$\begin{aligned} E_{\varphi n} &= C_n K_1(\chi_{0n} r), \\ E_{zn} &= D_n K_0(\chi_{0n} r), \end{aligned} \quad (58)$$

где C_n и D_n — постоянные. Если плазменный соленоид имеет проводящий цилиндрический кожух, то при $\mathcal{R} > r > R_S$ записывается следующее решение:

$$\begin{aligned} E_{\varphi n} &= C_n X_1(\chi_{0n} r), \\ E_{zn} &= D_n [K_0(\chi_{0n} r) I_0(\chi_{0n} \mathcal{R}) - \\ &- I_0(\chi_{0n} r) K_0(\chi_{0n} \mathcal{R})] \equiv D_n Z_0(\chi_{0n} r), \end{aligned} \quad (59)$$

где функция $X_1(\chi_{0n} r)$ приведена в (47).

Для определения постоянных $A_{n1,2}$, C_n и D_n решения (57) и (58) следует спить в точке $r = R_S$. Однако, трех условий спивки — граничных условий (41) — недостаточно для определения четырех постоянных в решениях (57) и (58). Недостающее, четвертое условие получается интегрированием второго уравнения системы (42) в окрестности точки $r = R_S$, что дает

$$\left\{ \varepsilon_{\perp} \frac{dE_{zn}}{dr} + i k_{zn} \frac{g}{\chi_n^2} E_{\varphi n} \right\}_{r=R_S} = 0. \quad (60)$$

Используя систему (3), можно показать, что (60) эквивалентно условию непрерывности на границе плазмы тангенциальной составляющей индукции магнитного поля B_{φ} , или нормальной составляющей индукции электрического поля $D_r = \varepsilon_{\perp} E_r + igE_{\varphi}$.

Спивая при помощи полученных условий решения (57) и (58), выражим постоянные $A_{n1,2}$, C_n , D_n и найдем следующее выражение:

$$E_{\varphi n}(r) = i \frac{\omega}{c} \frac{4\pi}{c} I \frac{N_S}{L_S} P_n K_1(\chi_{0n} R_S) \times \\ \times \left(\frac{D_{En}(\kappa_{n2} R_S)}{D_n} J_1(\kappa_{n1} r) - \frac{D_{En}(\kappa_{n1} R_S)}{D_n} J_1(\kappa_{n2} r) \right), \quad (61)$$

где

$$D_n = D_{En}(\kappa_{n2} R_S) D_{Bn}(\kappa_{n1} R_S) - \\ - D_{En}(\kappa_{n1} R_S) D_{Bn}(\kappa_{n2} R_S), \quad (62)$$

$$D_{Bn}(\kappa_{n1,2} R_S) = \chi_{0n} J_1(\kappa_{n1,2} R_S) K_0(\chi_{0n} R_S) + \\ + \kappa_{n1,2} J_0(\kappa_{n1,2} R_S) K_1(\chi_{0n} R_S), \\ D_{En}(\kappa_{n1,2} R_S) = (J_0(\kappa_{n1,2} R_S) K_1(\chi_{0n} R_S) \chi_{0n}^{-1} - \\ - \varepsilon_{\perp} \kappa_{n1,2} J_1(\kappa_{n1,2} R_S) K_0(\chi_{0n} R_S) \chi_n^{-2}) \beta(\kappa_{n1,2}) + \\ + k_{zn} g \chi_n^{-2} J_1(\kappa_{n1,2} R_S) K_0(\chi_{0n} R_S). \quad (63)$$

Выражения D_n являются дисперсионными функциями смешанных, т.е. B - и E -типов, электромагнитных волн магнитоактивного плазменного цилиндра со свободной поверхностью. Имея в виду предельный переход к нулевому внешнему магнитному полю, можно условно назвать функции $D_{Bn}(\kappa_{n1,2} R_S)$ дисперсионными функциями волн B -типа, а $D_{En}(\kappa_{n1,2} R_S)$ — дисперсионными функциями волн E -типа (см. формулу (50)).

Подставляя (61) в уравнение внешней цепи (38), стандартным образом получаем следующее выражение для комплексного импеданса соленоида, заполненного однородной магнитоактивной плазмой:

$$Z_S(\omega) = -i\omega \Lambda_0 \sum_{n=1} P_n^2 \frac{(D_{En}(\kappa_{n2} R_S) J_1(\kappa_{n1} R_S) - D_{En}(\kappa_{n1} R_S) J_1(\kappa_{n2} R_S)) K_1(\chi_{0n} R_S)}{R_S (D_{En}(\kappa_{n2} R_S) D_{Bn}(\kappa_{n1} R_S) - D_{En}(\kappa_{n1} R_S) D_{Bn}(\kappa_{n2} R_S))}. \quad (64)$$

В нулевом магнитном поле формула (64) переходит в формулу (49).

При получении формулы (64) мы полагали, что проводящий кожух у соленоида отсутствует. Если проводящий кожух имеется, то следует использовать решение (59). Тогда, почти полностью повторяя вывод формулы (64), получим следующее выражение для импеданса ограниченного плазменного соленоида с проводящим кожухом во внешнем магнитном поле:

$$Z_S(\omega) = -i\omega \Lambda_0 \sum_{n=1} P_n^2 \frac{(D_{En}(\kappa_{n2} R_S) J_1(\kappa_{n1} R_S) - D_{En}(\kappa_{n1} R_S) J_1(\kappa_{n2} R_S)) X_1(\chi_{0n} R_S)}{R_S (D_{En}(\kappa_{n2} R_S) D_{Bn}(\kappa_{n1} R_S) - D_{En}(\kappa_{n1} R_S) D_{Bn}(\kappa_{n2} R_S))}, \quad (64a)$$

а дисперсионные функции определяются формулами

$$D_{Bn}(\kappa_{n1,2} R_S) = \chi_{0n} J_1(\kappa_{n1,2} R_S) X_0(\chi_{0n} R_S) + \kappa_{n1,2} J_0(\kappa_{n1,2} R_S) X_1(\chi_{0n} R_S), \\ D_{En}(\kappa_{n1,2} R_S) = \beta(\kappa_{n1,2}) (J_0(\kappa_{n1,2} R_S) Z_1(\chi_{0n} R_S) \chi_{0n}^{-1} - \varepsilon_{\perp} \kappa_{n1,2} J_1(\kappa_{n1,2} R_S) Z_0(\chi_{0n} R_S) \chi_n^{-2}) + \\ + k_{zn} g \chi_n^{-2} J_1(\kappa_{n1,2} R_S) Z_0(\chi_{0n} R_S), \quad (65)$$

где $Z_1(\chi_{0n} r) = K_1(\chi_{0n} r) I_0(\chi_{0n} \mathcal{R}) + I_1(\chi_{0n} r) K_0(\chi_{0n} \mathcal{R})$.

Решение (59) имеет смысл при любом знаке величин χ_{0n}^2 (в отличие от решения (58), полученного при $\chi_{0n}^2 > 0$), и применимость формулы (64a) не ограничивается условием (45). Поэтому в (64a) оказывается возможным предельный переход к соленоиду бесконечной длины $L_S \rightarrow \infty$, или $k_{zn} \rightarrow 0$. В этом пределе из формул (56) и (55) имеем $\kappa_{n1}^2 \rightarrow (\omega^2/c^2)\varepsilon_{||}$, $\kappa_{n2}^2 \rightarrow (\omega^2/c^2)\tilde{\varepsilon}_{\perp} \equiv \kappa_2^2$ ($\tilde{\varepsilon}_{\perp}$ см. в (24)), $\beta(\kappa_{n1}) \rightarrow \text{const} \neq 0$, $\beta(\kappa_{n2}) \rightarrow 0$. Тогда, с учетом (65), формула (64a) преобразуется к виду

$$Z_S(\omega) = -i\omega \Lambda_0 \frac{J_1(\kappa_2 R_S) X_1(i\omega R_S/c)}{R_S (\chi_{0n} J_1(\kappa_2 R_S) X_0(i\omega R_S/c) + \kappa_2 J_0(\kappa_2 R_S) X_1(i\omega R_S/c))} \sum_{n=1} P_n^2. \quad (66)$$

Принимая во внимание соотношение

$$\sum_{n=1} P_n^2 = \frac{4}{\pi^2} \sum_{n=1} \left(\frac{1 - (-1)^n}{n} \right)^2 = 2, \quad (67)$$

видим, что формула (66) в точности переходит в формулу (28a) индуктивности однородного соленоида. Таким образом, однородным может считаться соленоид очень большой длины. Но это и понятно,

поскольку при большой длине соленоида условия на его торцах существенной роли не играют.

Уравнение

$$D_n \equiv D(\omega, k_{zn}) = D_{En}(\kappa_{n2}R_S)D_{Bn}(\kappa_{n1}R_S) - D_{En}(\kappa_{n1}R_S)D_{Bn}(\kappa_{n2}R_S) = 0 \quad (68)$$

определяет частоты $\omega_s(k_{zn})$ собственных волн плазменного цилиндра радиуса R_S (со свободной поверхностью, или в волноводе радиуса \mathcal{R}) во внешнем магнитном поле. При этом индекс s обозначает номер ветви плазменных волн, а n совпадает с индексом суммирования в (64) и (64a). Эти же частоты определяют полюса $\omega_{sn}^{(\infty)} = \omega_s(k_{zn})$ импедансов (64) и (64a). Достаточно сложное уравнение (68) в различных предельных случаях исследовалось в теории плазменных волноводов [35]. Точное уравнение для нулей импеданса, из-за наличия в (64) и (64a) бесконечной суммы, вообще нельзя записать в явном виде. Поэтому нельзя в общем виде определить имеются ли у импедансов (64) и (64a) нули. При расчетах, проводившихся для конкретных случаев, нули импедансов обнаружены не были. Напомним, что в полюсах импеданса реализуется резонанс токов, а в нулях — резонанс напряжений. Таким образом, в ограниченном плазменном соленоиде во внешнем магнитном поле резонансы токов возможны, а резонансы напряжений, скорее всего, отсутствуют. То же самое, исходя из предыдущих результатов, можно сказать и об однородном плазменном соленоиде.

Рассмотрим механизмы передачи энергии внешнего источника магнитоактивной плазме, находящейся в соленоиде. Все эти механизмы учтены в формулах (64) и (64a). Высокочастотное электромагнитное поле соленоида имеет структуру B -типа. Вынужденные колебания этого типа и будут возбуждаться в плазме. Но при наличии в плазме конечного внешнего магнитного поля колебания B -типа и E -типа оказываются зацепленными между собой. Таким образом, в соленоиде с магнитоактивной плазмой на частоте внешнего источника ω возбуждаются вынужденные смешанные электромагнитные колебания обоих типов. Наиболее интенсивное возбуждение колебаний в плазме происходит при совпадении частоты источника с частотами собственных волн плазменной системы, т.е при $\omega \approx \omega_{sn}^{(\infty)} = \omega_s(k_{zn})$, где $\omega_s(k_{zn})$ определяются из уравнений (68). Естественно, что наиболее сильное поглощение энергии внешнего источника в плазме происходит на тех же частотах. Именно зацеплением электромагнитных волн B -типа и E -типа случай магнитоактивной плазмы в соленоиде отличается от

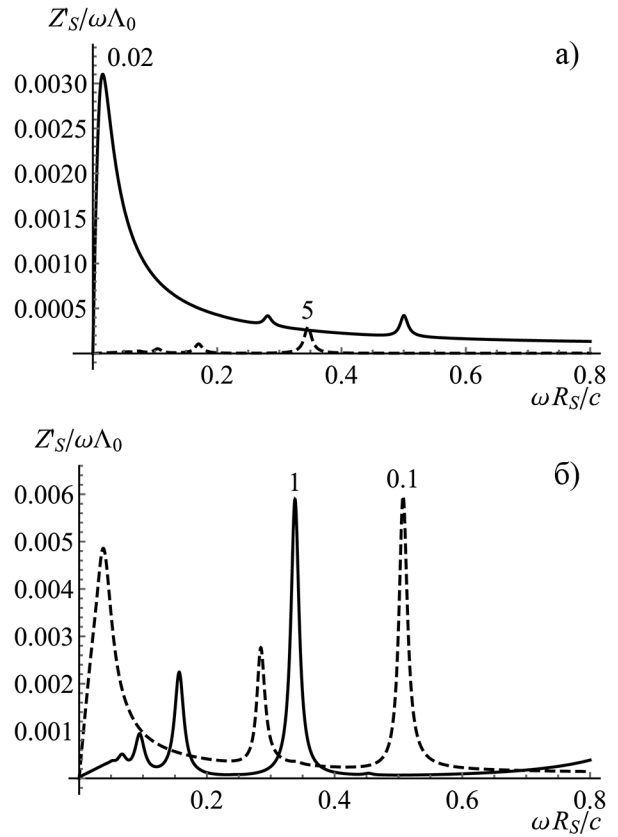


Рис. 8. Вещественная часть импеданса ограниченного плазменного соленоида без кожуха во внешнем магнитном поле для $\omega_{Le}R_S/c = 0.5$, $\nu_e = 0.03\omega_{Le}$, $L_S/R_S = 2$. Числа около кривых соответствуют значению $\Omega_e R_S/c$

случая плазменного соленоида без магнитного поля (возбуждаются только колебания B -типа) и от случая плазмы в конденсаторе (возбуждаются только колебания E -типа) [18]. Следовательно, применение магнитоактивной плазмы позволяет задействовать плазменные волны всех типов в качестве индуктивных каналов резонансной перекачки энергии источника в плазму. Особый интерес представляют волны E -типа из-за их низкой частоты. Более того, в плазменном цилиндре собственных электромагнитных волн B -типа в низкочастотной области вообще нет (кроме волн (33) с частотами, близкими к верхней гибридной частоте).

Известно [35], что в плазменном волноводе в случае слабого внешнего магнитного поля, когда $\Omega_e < \omega_{Le}$, имеются три группы волн E -типа. В низкочастотной области $\omega < \Omega_e$ располагаются частоты объемных косых циклотронных волн. В промежуточной области частот $\Omega_e < \omega < \omega_{Le}$ лежит частота поверхности ленгмюровской волны. В высокочастотной области $\omega_{Le} < \omega < \Omega_g$ расположены частоты

косых ленгмюровских волн. В случае сильного внешнего магнитного поля, когда $\Omega_e > \omega_{Le}$, поверхность волны нет, частоты косых ленгмюровских волн расположены в области $\omega < \omega_{Le}$, а частоты косых циклотронных волн принадлежат диапазону $\Omega_e < \omega < \Omega_g$.

На рис. 8 представлены результаты расчета вещественной части импеданса ограниченного плазменного соленоида, выполненные по формуле (64) для $\omega_{Le}R_S/c = 0.5$, $\nu_e = 0.03\omega_{Le}$, $L_S/R_S = 2$ и различных значений $\Omega_eR_S/c = 0.02, 0.1, 1, 5$. При малом значении магнитного поля кривая аналогична кривой на рис. 5, построенной для случая нулевого магнитного поля. В отсутствие внешнего магнитного поля имеются только волны *E*-типа, возбуждение которых азимутальным током не происходит и резонансного поглощения энергии в плазме нет. При ненулевом значении магнитного поля волны *E*-типа и *B*-типа оказываются связанными и возбуждение такой волны азимутальным током становится возможным. Это и проявляется появлением пиков резонансного поглощения на рис. 8 для кривой, соответствующей $\Omega_eR_S/c = 0.02$. Правый из этих пиков соответствует возбуждению объемной ленгмюровской волны с частотой близкой к ленгмюровской, а левый — поверхностной волне с частотой порядка $\omega_{Le}/\sqrt{2}$. При увеличении магнитного поля до значений $\Omega_eR_S/c = 0.1$ связь между волнами усиливается и пики поглощения возрастают, в том числе формируется и низкочастотный пик циклотронного поглощения. В сильном магнитном поле ($\Omega_e > \omega_{Le}$), при $\Omega_eR_S/c = 1$, на рис. 8 в квазистационарной области частот, проявляются только пики низкочастотных ленгмюровских волн. Они же сохраняются и в случае $\Omega_eR_S/c = 5$, но их величина заметно уменьшается, в соответствии с тем, что в сильном магнитном поле волны трансформируются в волны *E*-типа, которые не возбуждаются азимутальным током. Во всех рассмотренных случаях мнимая часть импеданса практически не зависит от величины внешнего магнитного поля и совпадает с зависимостью, изображенной на рис. 5.

6. ЗАКЛЮЧЕНИЕ

На основе системы уравнений Maxwella в холодной столкновительной магнитоактивной плазме рассмотрены электродинамические свойства плазменного столба и динамика возбуждения электромагнитных полей азимутальным током на его поверхности при произвольных соотношениях меж-

ду частотой возбуждающего генератора, электронной циклотронной частотой и плазменной частотой. Рассмотрены случаи безграничного и продольно ограниченного плазменного соленоида. Вычислялись комплексный импеданс системы и эффективное сопротивление как величина, характеризующая поглощаемую в плазме мощность. Несмотря на ограниченность понятия комплексного импеданса квазистационарным случаем, тем не менее вещественная часть импеданса оказывается совпадающей с эффективным сопротивлением, понятие которого имеет более широкую область применимости не ограниченную условием квазистационарности. Резонансные свойства комплексного импеданса и эффективного сопротивления плазмы связаны с возможностью возбуждения в системе собственных электромагнитных волн с последующей их столкновительной диссириацией. Уширение резонансных линий определяется как частотой электронных столкновений, так и возможностью радиального выноса энергии в открытой системе. В системе без кожуха в достаточно слабом или, наоборот, достаточно сильном внешнем магнитном поле доминирующими оказываются только волны *E*-типа, возбуждение которых азимутальным током не происходит и резонансный характер поглощения энергии в плазме не проявляется. При промежуточном значении магнитного поля волны *E*-типа и *B*-типа оказываются связанными и возбуждение такой волны азимутальным током становится возможным. Это и проявляется появлением пиков резонансного поглощения, связанных с возбуждением объемных или поверхностных ленгмюровских волн, а также циклотронных волн.

Финансирование. Работа выполнена при финансовой поддержке Российского научного фонда (проект № 22-29-00642).

ЛИТЕРАТУРА

1. S. Shinohara, Adv. in Phys.: X **3**, 1420424 (2018); doi:10.1080/23746149.2017.1420424.
2. S. Isayama, S. Shinohara, and T. Hada, Plasma and Fusion Research **13**, 1101014 (2018); doi:10.1585/pfr.13.1101014.
3. F. F. Chen, Plasma Sources Sci. Technol. **24**, 014001 (2015); doi:10.1088/0963-0252/24/1/014001.
4. Е. А. Кралькина, УФН **178**, 519 (2008); [E. A. Kral'kina, Phys. Usp. **51**, 493 (2008); doi:10.1070/PU2008v051n05ABEH006422].

5. S. Shinohara et al., IEEE Trans. on Plasma Science **42**, 1245 (2014).
6. F. F. Chen, Phys. Plasmas **21**, 093511 (2014); doi:10.1063/1.4896238.
7. F. F. Chen, IEEE Trans. on Plasma Science **43**, 195 (2015).
8. S. Shinohara et al., IEEE Trans. on Plasma Science **46**, 252 (2018).
9. S. Samukawa et al., J. Phys. D: Appl. Phys. **45**, 253001 (2012); doi:10.1088/0022-3727/45/25/253001.
10. В. Л. Вдовин, Физика плазмы **39**, 115 (2013) [V.L.Vdovin, Plas. Phys. Rep. **39**, 95 (2013); doi:10.1134/S1063780X13020037].
11. C. Lau et al., Nucl. Fusion **58**, 066004 (2018); doi:10.1088/1741-4326/aab96d.
12. R. W. Boswell, Phys. Lett. A **33**, 457 (1970); doi:10.1016/0375-9601(70)90606-7.
13. R. W. Boswell, Plasma Physics and Controlled Fusion **26**, 1147 (1984).
14. R. W. Boswell, Australian J. Phys. **25**, 403 (1972); doi:10.1071/PH720403.
15. R.W. Boswell, J. Plas. Phys. **31** (2), 197-208 (1984); doi:10.1017/S0022377800001550.
16. F. F. Chen, Plasma Physics and Controlled Fusion **33**, 339 (1991); doi:10.1088/0741-3335/33/4/006.
17. K. P. Shamrai and V. B. Taranov, Plasma Physics and Controlled Fusion **36**, 1719 (1994).
18. И.Н. Карташов, М.В. Кузелев, ЖЭТФ, **158**, 738 (2020) [I. N. Kartashov, M. V. Kuzelev, J. Exp. Theor. Phys. **131**, 645 (2020); doi:10.1134/S1063776120090162].
19. H. Tamura et al., IEEE Trans. on Plasma Science **46**, 3662 (2018).
20. Д. С. Степанов, А. В. Чеботарев, Э. Я. Школьников, ТВТ **57**, 347 (2019) [D. S. Stepanov, A. V. Chebotarev, and E. Y. Shkol'nikov, High Temp. **57**, 316 (2019); doi:10.1134/S0018151X19030155].
21. И. Н. Карташов, М. В. Кузелев, ТВТ **56**, 346 (2018) [I. N. Kartashov and M. V. Kuzelev, High Temp. **56**, 334 (2018); doi:10.1134/S0018151X18030100].
22. И. Н. Карташов, М. В. Кузелев, ЖЭТФ **156**, 355 (2019) [I. N. Kartashov and M. V. Kuzelev, J. Exp. Theor. Phys. **129**, 2981 (2019); doi:10.1134/S106377611907015X].
23. И. С. Абрамов, Е. Д. Господчиков, А. Г. Шалашов, ЖЭТФ **156**, 528 (2019) [I. S. Abramov, E. D. Gospodchikov, and A. G. Shalashov, J. Exp. Theor. Phys. **129**, 444 (2019); doi:10.1134/S106377611907001X].
24. Е. А. Кралькина et al., AIP Advances **8**, 035217 (2018); doi:10.1063/1.5023631.
25. Е. А. Кралькина et al., Plasma Sources Sci. Technol. **26**, 055006 (2017); doi:10.1088/1361-6595/aa61e6.
26. Е. А. Кралькина et al., Plasma Sources Sci. Technol. **25**, 015016 (2016); doi:10.1088/0963-0252/25/1/015016.
27. А. Ф. Александров, М. В. Кузелев, Теоретическая плазменная электротехника, Изд. физического ф-та МГУ, Москва (2011).
28. В. Л. Гинзбург, А. А. Рухадзе, Волны в магнитоактивной плазме, URSS, Москва (2013).
29. И. Н. Карташов, М. В. Кузелев, Радиотехника и электроника **68**, 1165 (2023) [I. N. Kartashov and M. V. Kuzelev, J. Comm. Tech. Electr. **68**, 1394 (2023); doi:10.1134/S1064226923120094].
30. А. А. Самарский, Ю. П. Попов, Разностные методы решения задач газовой динамики, Наука, Москва (1975).
31. Д. В. Сивухин, Общий курс физики. Т.3. Электричество, ФИЗМАТЛИТ, Москва (2004).
32. Л. Д. Ландау, Е. М. Лифшиц, Электродинамика сплошных сред, ФИЗМАТЛИТ, Москва (2005).
33. А. Ф. Александров, Л. С. Богданкевич, А. А. Рухадзе, Основы электродинамики плазмы, Высшая школа, Москва (1988) [A. F. Alexandrov, L. S. Bogdankevich, and A. A. Rukhadze, Principles of Plasma Electrodynamics, Springer Verlag, Heidelberg (1984)].
34. А. Н. Тихонов, А. А. Самарский, Уравнения математической физики, Изд. Московского университета, Москва (1999).
35. М. В. Кузелев, А. А. Рухадзе, П. С. Стрелков, Плазменная релятивистская СВЧ-электроника, ЛЕНАНД, Москва (2018).